

Anomales magnet. Moment

Für geladene Dirac-Teilchen (Spin $= \frac{1}{2}$) sollte g -Faktor den Wert 2 annehmen. Für ungeladene Dirac-Teilchen sollte magnet. Moment ($\mu = g \frac{e}{2m} \frac{\hbar}{2}$) verschwinden

Elektronen und Myonen den Wert $g=2$

(kleine Abweichung aus QED)

[Suche nach "g-2" bei Myonen als Hinweis für neue Physik! Aktuelle Experimente]

Da die Nucleonen jedoch keine Dirac-Teilchen sind, sondern aus Quarks aufgebaut sind, ergeben sich ihre g -Faktoren aus ihrer Substruktur.

Die experimentellen Werte betragen

$$\begin{aligned} \mu_p &= \frac{g_p}{2} \mu_N = + 2,79 \mu_N \\ \mu_n &= \frac{g_n}{2} \mu_N = - 1,81 \mu_N \end{aligned}$$

wobei μ_N das Kernmagneton ist

$$\mu_N = \frac{e \hbar}{2 m_p} = 3.1525 \cdot 10^{-14} \frac{\text{ReV}}{\text{T}}$$

Die Ladungs- und Stromverteilung können wie bei Kerne durch Formfaktoren beschrieben werden. In dieser Falle benötigen man zwei Formfaktoren, die die elektrische und magnetische Verteilung charakterisieren.

Der WA für die Streuung eines Elektrons an einer Proton wird durch die Rose-Bluth-Formel (1950) beschrieben

$$\left(\frac{d\sigma}{d\Omega} \right) = \left(\frac{d\sigma}{d\Omega} \right)_{\text{Roth}} \cdot \left[\frac{G_E^2(Q^2) + \tau G_M^2(Q^2)}{1 + \tau} + 2\tau G_M^2(Q^2) \tan^2 \frac{\Theta}{2} \right]$$

$G_E(Q^2)$: elektrische Formfaktor

(3)

$G_M(Q^2)$: magn. "

z.B. Erinnerung $\tau = \frac{Q^2}{4\pi^2 c^2}$

Aus Q^2 -Abhängigkeit der Formfaktoren kann auf räumliche ~~Abteilung~~ Verteilung von Ladung und magn. Moment Rückschlüsse werden.

Wichtiger Grenzfall : $Q^2 \rightarrow 0$

$\Rightarrow G_E$ ist auf Elementarladung normiert

$\Rightarrow G_M$ auf das Kernmagneton normiert

$$G_E^p(Q^2 \rightarrow 0) = 1 \quad \left. \vphantom{G_E^p(Q^2 \rightarrow 0)} \right\} \text{Proton}$$

$$G_M^p(Q^2 \rightarrow 0) = 2,79 \quad \left. \vphantom{G_M^p(Q^2 \rightarrow 0)} \right\}$$

$$G_E^n(Q^2 \rightarrow 0) = 0 \quad \left. \vphantom{G_E^n(Q^2 \rightarrow 0)} \right\} \text{Neutron}$$

$$G_M^n(Q^2 \rightarrow 0) = -1,91 \quad \left. \vphantom{G_M^n(Q^2 \rightarrow 0)} \right\}$$

Experimentell Bestimmung : WQ für feste Q^2 (4)
 bei verschiedene Streuwinkel Θ
 (den + Strahlenergie E)

$$\Rightarrow \left(\frac{d\sigma}{d\Omega} \right)_{\text{exp}} / \left(\frac{d\sigma}{d\Omega} \right)_{\text{Roth}}$$

Fig 6.1, 6.2

Exp. Beobachtung : elektr. Formfaktor des Protons
 und magn. Formfaktor von Proton u. Neutron nehmen in
 gleicher Weise mit Q^2 ab. Sie durch sogen. Dipolfit
 beschrieben werden

$$G_E^P(Q^2) \frac{G_M^P(Q^2)}{2.79} = \frac{G_M^N(Q^2)}{-1.81}$$

$$=: G^{\text{Dipol}}(Q^2)$$

$$\text{mit } G^{\text{Dipol}}(Q^2) = \left(1 - \frac{Q^2}{0,71(\text{GeV}/c)^2} \right)^{-2} \quad (5)$$

Dipolformfaktor entspricht einer exponentiell abfallenden Ladungsverteilung

$$S(r) = S(0) e^{-ar} \quad ; \quad a = 4,27 \text{ fm}^{-1}$$

\Rightarrow Nukleone sind also weder punktförmig noch homogen geladene Kugel, sondern „diffuse“ Gebilde.

Mittlere quadratische Radien der Ladungsverteilung im Proton und Verteilung des magnetischen Moments im Proton u. Neutron sind gleich groß!

$$\langle r^2 \rangle_{\text{Dipol}} = 0,66 \text{ fm}^2$$

$$\sqrt{\langle r^2 \rangle_{\text{Dipol}}} = 0,81 \text{ fm}$$

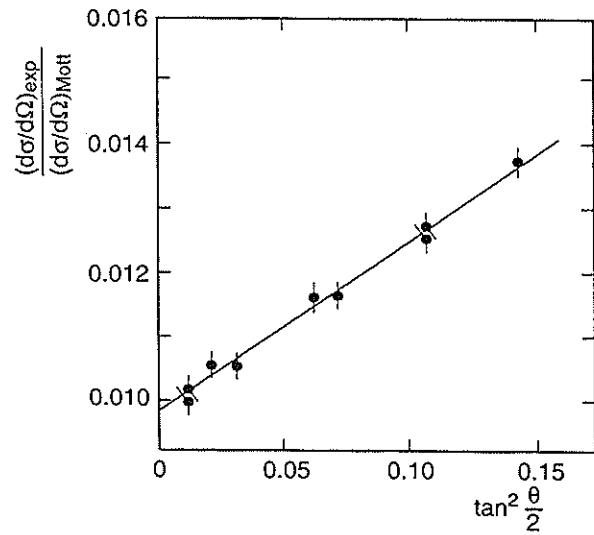


Abb. 6.1. Quotient aus gemessenem und Mott-Wirkungsquerschnitt $\sigma_{\text{exp}}/\sigma_{\text{Mott}}$ als Funktion von $\tan^2 \frac{\theta}{2}$ bei einem Viererimpulsübertrag von $Q^2 = 2.5 \text{ GeV}^2/c^2$ [Ta67]

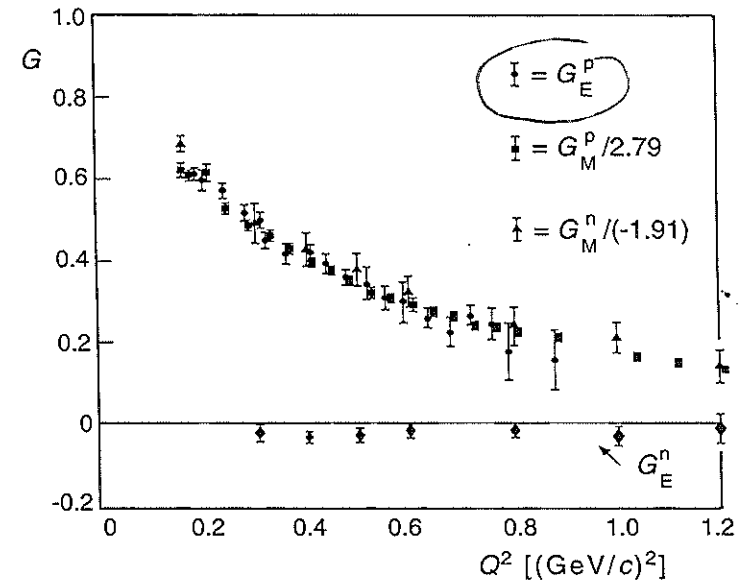


Abb. 6.2. Elektrischer und magnetischer Formfaktor von Proton und Neutron, aufgetragen gegen Q^2 . Die Datenpunkte sind mit den angegebenen Faktoren skaliert und liegen dann übereinander, so dass das globale Dipolverhalten deutlich wird [Hu65].

Beste Wert ang. Messung bei $Q^2 \rightarrow 0$

⑥

$$|\langle r^2 \rangle_p| = \underline{0,862 \text{ fm}}$$

Kun. elektrische Formfaktor des Nuklons durch Streuung von Neutronen an Elektronen (der Hülle) mit Nachweis der freigesetzten Elektronen.

$$\langle r^2 \rangle_n = -0,113 \pm 0,005 \text{ fm}^2$$

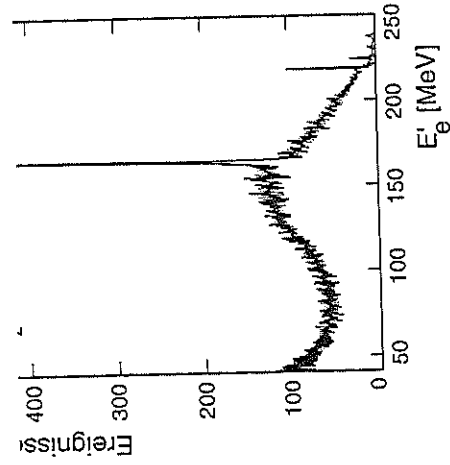
D. h. Neutron ~~ist~~ nur nach außen hin elektr. neutral. Im Inneren befinden sich elektrische Konstituenten, die auch die magnet. Momente tragen.

Quasielastische Streuung

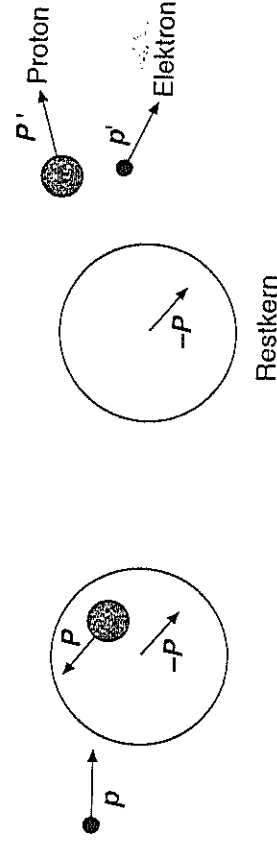
Bisher elastische Streuung von Elektronen an Nucleonen behandelt.

Für vorgegebene Strahlenergie E findet man durch diese Reaktion unter bestimmten Streuwinkel Θ nur gestreute Elektronen mit Energie E'

$$E' = \frac{E}{1 + E/mc^2 (1 - \cos \Theta)}$$



ten wurden am Linearbeschleuniger MAMI-A in Mainz bei 246 MeV Strahlenergie unter einem Streuwinkel von 148.5° aufgenommen. (Dieses Bild wurde uns freundlicherweise von J. Friedrich (Mainz) überlassen.)



Es ergeben sich dann folgende kinematische Zusammenhänge:

$$P_F^2 = \frac{5}{3} \langle \vec{P}^2 \rangle$$

Fermigas-Modell: Nucleon

können sich quasi frei bewegen und haben Impuls (Fermi-Impuls)

Streuung an Kern mit mehreren Nucleonen:

(7)

Fermimpuls P_F
effektives Potential S

Kern	⁶ Li	¹² C	⁴⁰ Ca	¹⁸¹ Ta	²⁰⁸ Pb
P_F (MeV/c)	163	221	249	265	265
S (MeV)	17	25	33	42	44

- Das effektive mittlere Kernpotential wächst von 17 MeV bei Li bis 44 MeV bei Pb kontinuierlich an (mit Massenzahl A)
- Bis auf Quarkkerne ist der Fermimpuls unabhängig von A und beträgt $P_F \approx 250$ MeV/c

Verhaltet aher Fermigas-Modell:
abgesetzt von leichter Kerne ist die Dichte der
Kernmaterie unabhangig von der Massenzahl A.

Ladungsradius von Pionen und Kaonen (Resonanz)

Mit gleicher Methode wie fur Neutronen lassen auch die
Ladungsstruktur von anderen Teilchen messen. Bsp. π -Resonanz
K-Resonanz

$$\langle r^2 \rangle_{\pi} = 0,44 \pm 0,02 \text{ fm}^2 ; \sqrt{\langle r^2 \rangle} = 0,67 \text{ fm}$$

$$\langle r^2 \rangle_K = 0,34 \pm 0,05 \text{ fm}^2 ; \sqrt{\langle r^2 \rangle} = 0,58 \text{ fm}$$

=> rauliche Ausdehnung geringer als beim Proton

=> Kaon weist kleinere Radius als Pion auf

K-Resonanz hat im Gegensatz zum π -Resonanz ein schweres
Quark (s-Quark) ;

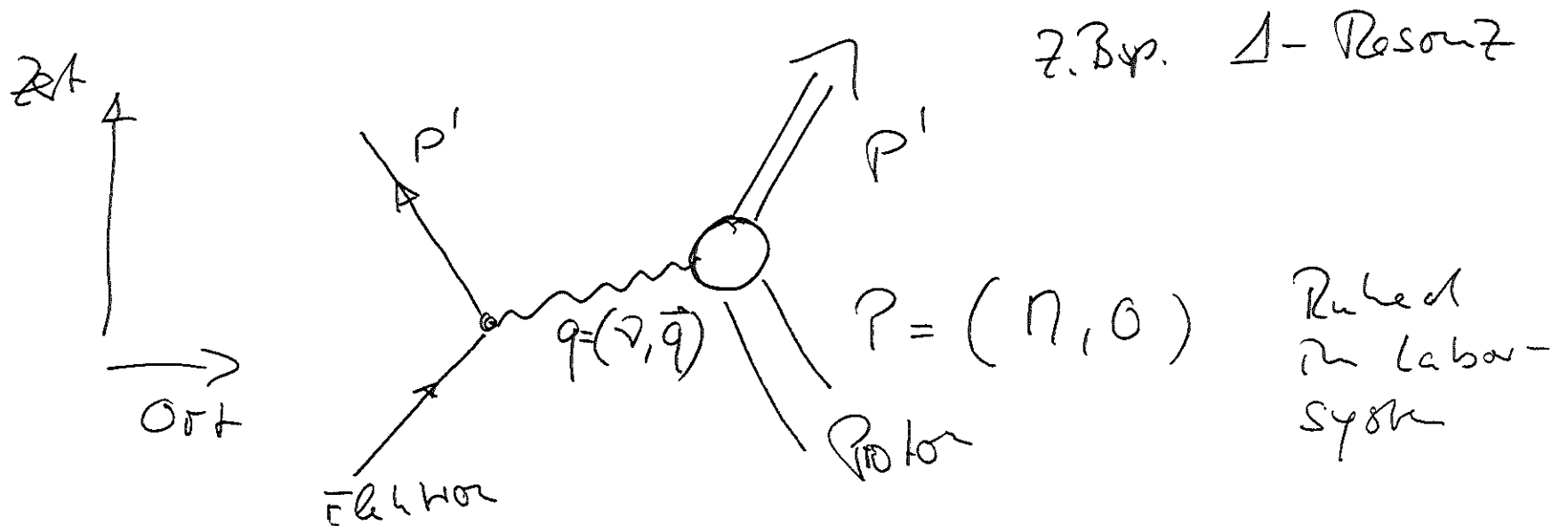
groere Masse der Konstituenten
=> Abnahme des R

Deep Inelastic Scattering (DIS) - Tiefinelastische Streuung (9)

Analog zur Streuung an Kernen werden weitere Maxima bei kleiner Streuennergie nahe der Maxima der elast. Streuung

\Rightarrow inelastische Anregung des Protons

\Rightarrow Hinweis, daß Proton ein zusammengesetztes System ist.
Deutung der Resonanzen mit Hilfe des Quark Modells



Invariante Masse $W^2 c^2 = P'^2 = (P+q)^2$ (10)

$$= m^2 c^2 + 2Pq + q^2$$

$$= m^2 c^2 + 2m\gamma - Q^2$$

Lorentz Größe γ definiert $\gamma = \frac{Pq}{m}$

In Laborsystem, in dem Targetproton im Ruhezustand ist, gilt $P = (mc, 0)$ und $q = ((E-E')/c, \vec{q})$
 $\Rightarrow \gamma = E - E'$ ist die Energie, die in dieses System auf das Proton übertragen wird.

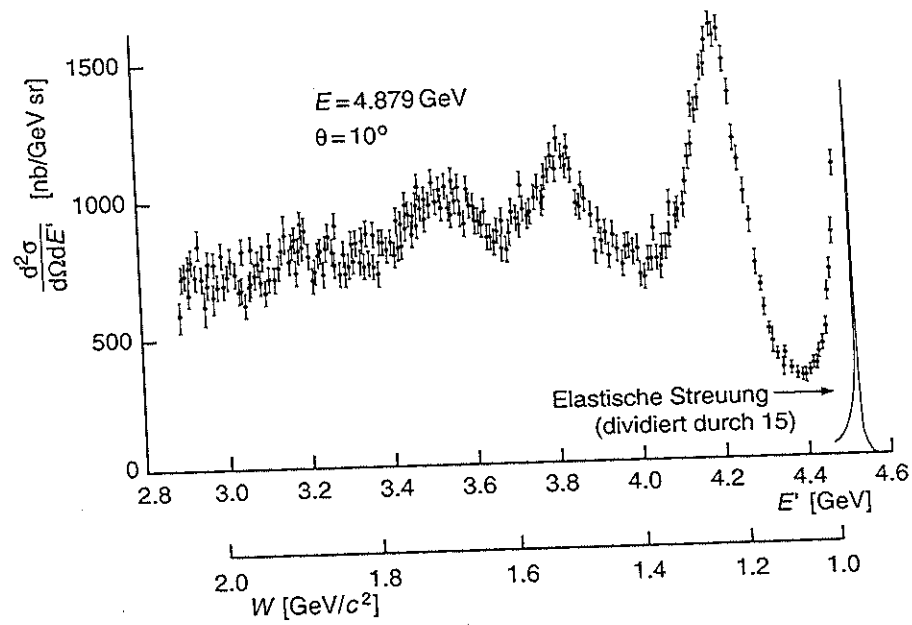


Abb. 7.1. Spektrum der gestreuten Elektronen bei Elektron-Proton-Streuung, aufgenommen bei einer Elektronenenergie $E = 4.9$ GeV unter einem Streuwinkel $\theta = 10^\circ$ (nach [Ba68])